

рицателен и обусловлен термоэлектронной эмиссией с поверхности капли, дрейфовым и деформационным потоками электронов. В области между «шубой» и зоной конденсации потенциал положителен, имеет максимум в зоне конденсации и его распределение обусловливается амбиполярной диффузией заряженных частиц к поверхности «шубы» и термоэлектронной эмиссией с конденсированных частиц  $MgO$ . Установлено, что основные механизмы с изменением давления не меняются, максимум потенциала незначительно растет с уменьшением давления, а среднее значение напряженности электрических полей во второй области уменьшается, как  $p^{-1/3}$ .

Поступила в редакцию 1/VIII 1984

#### ЛИТЕРАТУРА

1. Дж. Лаутон, Ф. Вайнберг. Электрические аспекты горения. М.: Энергия, 1978.
2. Л. А. Гуссак, Е. С. Семенов. ФГВ, 1975, 11, 6.
3. Б. С. Фиалков, И. Д. Щербаков, В. Т. Плицын. ФГВ, 1978, 14, 3.
4. Н. И. Кидин, Г. М. Махвиладзе. ФГВ, 1976, 12, 6.
5. Б. С. Фиалков, А. Г. Захаров, В. Т. Плицын. Химия твердого топлива, 1979, 2.
6. Б. С. Фиалков, А. Г. Захаров. ТВТ, 1981, 19, 1.
7. Б. С. Фиалков, А. Г. Захаров и др. ФГВ, 1981, 17, 5.
8. А. В. Флорко, С. В. Козицкий и др. ФГВ, 1983, 19, 6.
9. А. В. Флорко, А. Н. Золотко и др. ФГВ, 1982, 18, 1.
10. Л. Д. Ландау, Е. М. Либшиц. Электродинамика сплошных сред. М.: Наука, 1982.
11. В. Е. Голант, А. П. Жилинский, И. Е. Сахаров. Основы физики плазмы. М.: Атомиздат, 1977.
12. Л. А. Клячко. ФГВ, 1969, 5, 3.

#### РАСПРОСТРАНЕНИЕ ЗОНЫ ГОРЕНИЯ ПО ТУРБУЛЕНТНОЙ СРЕДЕ

П. В. Белоусов, И. Г. Дик

(Томск)

Режимы горения однородной смеси газов в условиях турбулентности отличаются большим разнообразием, обусловленным спецификой гидродинамики в том или ином техническом устройстве. В частности, большинство закономерностей горения в пограничном слое удается объяснить на основе модели, аналогичной описанию ламинарного горения с заменой молекулярных коэффициентов переноса на турбулентные [1—4]. Такого рода модели могут оказаться полезными и при развитии теории турбулентного горения по механизму движения искривленных участков ламинарного пламени, поскольку наличие в турбулентности высокочастотной составляющей пульсаций приводит к изменению скорости движения и структуры движущихся фронтов. Возможны и другие области применения так называемых моделей объемного горения газов [5].

Ниже в развитие работ [6, 7] горение предварительно перемешанных газов рассматривается в рамках модели, использующей уравнения для среднего значения температуры  $\langle T \rangle$  и одноточечных вторых корреляционных моментов  $\langle w'T' \rangle$  и  $\langle T'^2 \rangle$ .

Пусть безграничное однородное пространство заполнено реагирующим газом, находящимся в турбулентном состоянии. Гидродинамические характеристики турбулентности (среднеквадратичная скорость пульсаций  $b = \sqrt{\langle w'^2 \rangle}$  и лагранжев масштаб  $L$ ) считаются заданными. В этом пространстве распространяется плоский слой, где происходит превращение исходного вещества в продукты химической реакции. Предполагается, что химическая реакция экзотермическая с достаточно

большой энергией активации и большим тепловым эффектом, так что слой превращения — это фронт пламени, разделяющий исходную смесь с температурой  $T_-$  от продуктов горения температурой  $T_+$ .

Связем систему координат с распространяющимся фронтом и осью  $x$ , перпендикулярной к нему. Скорость распространения фронта горения определяется физико-химическими процессами в пламени. Важнейшие из них — химическое реагирование и теплопередача из высокотемпературной зоны, на ход которых существенное влияние оказывает турбулентность.

В качестве математической модели горения запишем уравнение для средней температуры  $\langle T \rangle$

$$w \frac{d \langle T \rangle}{dx} + \frac{dq}{dx} = \frac{Q}{c} \langle \Phi(T) \rangle \quad (1)$$

и для теплового потока  $q = \langle w' T' \rangle$

$$w \frac{dq}{dx} = D \frac{d^2 q}{dx^2} - \frac{q}{\tau_1} - b^2 \frac{d \langle T \rangle}{dx} + \frac{Q}{c} \langle w' \Phi(T) \rangle, \quad (2)$$

при написании которых использовали обычные гипотезы замыкания [8].

По порядку величины коэффициент диффузии для  $q$  должен равняться характерному времени гидродинамической пульсации  $\tau_1 = L/b$ , помноженному на энергию турбулентности  $b^2 = \langle w'^2 \rangle$ , т. е.  $D \approx b^2 \tau_1 = Lb$ . Для расчетов горения в струях, пограничных слоях и т. д. можно ввести согласующий множитель [9, 10]. В [9] для струйного потока рекомендуется этот множитель брать равным 1,5, в [10] для широкого класса течений — порядка 0,3. В настоящей работе он принят равным единице.

Функция тепловыделения по предположению о существовании температурно-концентрационного подобия зависит лишь от температуры. Вычисление среднего значения  $\langle \Phi \rangle$  требует знания величины пульсаций температуры. Не выписывая уравнения для  $\langle T'^2 \rangle$ , предположим существование жесткой корреляции

$$\langle w' T' \rangle = -b \sqrt{\langle T'^2 \rangle}. \quad (3)$$

Температурную зависимость тепловыделения запишем в виде

$$\Phi(T) = [(T_+ - T)/(T_+ - T_-)] k_0 \exp(-E/RT), \quad (4)$$

что соответствует реакции первого порядка.

Введя безразмерные переменные и параметры

$$\begin{aligned} u &= (T_+ - \langle T \rangle)/(T_+ - T_-), \quad y = q/[(T_+ - T_-) \sqrt{D/\tau_+}], \\ \xi &= x/\sqrt{D\tau_+}, \quad \omega = w\sqrt{\tau_+/D}, \\ \text{Sh} &= \tau_1/\tau_+, \quad \Theta_0 = \frac{E(T_+ - T_-)}{RT_+^2}, \end{aligned}$$

где  $\tau_+ = k_0^{-1} \exp(E/RT_+)$ , запишем задачу (1), (2)

$$\begin{aligned} -\omega \frac{du}{d\xi} + \frac{dy}{d\xi} &= \langle \Phi(u) \rangle, \\ \omega \frac{dy}{d\xi} &= \frac{d^2 y}{d\xi^2} - \text{Sh}^{-1} \left( y - \frac{du}{d\xi} \right) + \langle \omega' \Phi(u) \rangle. \end{aligned} \quad (5)$$

Границные условия:

$$\begin{aligned} \xi = -\infty: \quad u &= 1, \quad \frac{du}{d\xi} = 0, \quad y = 0, \\ \xi = \infty: \quad \frac{du}{d\xi} &= 0. \end{aligned} \quad (6)$$

Для завершения постановки задачи осталось определить функции  $\langle \Phi \rangle$  и  $\langle \omega' \Phi(u) \rangle$ , для чего необходимо привлечь некоторые статистические гипотезы.

Уравнения для функций распределения вероятностей пульсаций температуры и скорости требуют для своего замыкания дополнительных, зачастую конкурирующих, гипотез [11—16]. Предварительный анализ турбулентного горения возможен и на уровне, когда способ осреднения постулируется [6, 17, 18], а пригодность осреднения видна по конечным результатам. Ниже при осреднении нелинейных функций используется предположение о гауссовом распределении флуктуаций температуры и скорости, т. е. плотность распределения вида:

$$\mathcal{P} = \frac{1}{2\pi k\sigma \sqrt{1 - r_0^2}} \exp \left[ -\frac{1}{2(1 - r_0^2)} \left( \frac{\omega'^2}{k^2} + \frac{u'^2}{\sigma^2} - \frac{2r_0\omega'u'}{k\sigma} \right) \right],$$

где  $\sigma = \sqrt{\langle u'^2 \rangle}$ ;  $k = \sqrt{\langle \omega'^2 \rangle}$ ;  $r_0$  — корреляционный коэффициент, который, как оказалось, в конечные выражения не входит.

Вычисления средних значений

$$\langle \Phi(u) \rangle = \int_{-\infty}^{\infty} \int \Phi(u + u') \mathcal{P}(u', \omega') du' d\omega'$$

и

$$\langle \omega' \Phi(u) \rangle = \int_{-\infty}^{\infty} \int \omega' \Phi(u + u') \mathcal{P}(u', \omega') du' d\omega'$$

можно аналитически провести до конца, если в (4) преобразовать экспоненты по Д. А. Франк-Каменецкому

$$\Phi(u) = u \exp(-\Theta_0 u).$$

В результате осреднения получаем

$$\begin{aligned} \langle \Phi(u) \rangle &= (u - \Theta_0 \sigma^2) \exp \left( -\Theta_0 u + \frac{\Theta_0^2 \sigma^2}{2} \right), \\ \langle \omega' \Phi(u) \rangle &= -y(1 + \Theta_0^2 \sigma^2 - \Theta_0 u) \exp \left( -\Theta_0 u + \frac{\Theta_0^2 \sigma^2}{2} \right). \end{aligned} \quad (7)$$

Нетрудно проверить, что  $\langle \omega' \Phi \rangle = -y \frac{d \langle \Phi \rangle}{du}$ . Требуя выполнения условия жесткой корреляции (3), запишем

$$\sigma = \sqrt{Sh} y. \quad (8)$$

Таким образом, в данной постановке (соотношения (5) — (8)) безразмерная скорость распространения  $\omega$  есть функция двух параметров:

$$\omega = \omega(\Theta_0, Sh). \quad (9)$$

Один из них  $\Theta_0$  — обычный для теории горения, отражает сильную чувствительность химической реакции к температуре. Число  $Sh$  впервые введено в рассмотрение в теории турбулентного пламени К. И. Щелкиным [19] как возможный критерий реализации различных режимов горения. Принимая для оценки  $\tau_i \approx 10^{-2} \div 10^{-3}$  с,  $\tau_+ \approx 10^{-4} \div 10^{-5}$  с, можно ожидать  $Sh \approx 10^1 \div 10^2$ .

Обычно при анализе экспериментальных данных наблюдают за скоростью нормального горения  $w_n$ , которая связана с  $\tau_+$ . В случае реакции первого порядка [20, 21] положим

$$w_n^2 = 2\kappa \left( \frac{T_-}{T_+} \right) \Theta_0^{-2} k_0 \exp \left( -\frac{E}{RT_+} \right) = \frac{2T_- \kappa}{T_+ \Theta_0^2 \tau_+} \frac{1}{\tau_+}.$$

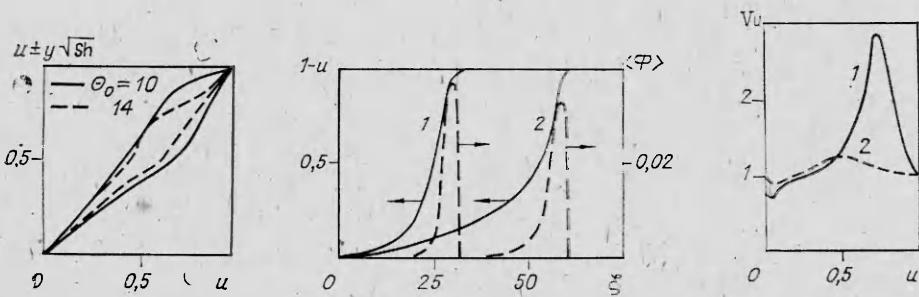


Рис. 1. Диапазон изменения дисперсии температуры;  $Sh = 10$ .

Рис. 2. Профиль температуры и тепловыделения в пламени при  $\Theta_0 = 10$ ,  $Sh = 0$  (1) и  $100$  (2).

Рис. 3. Отношение  $Vu = <\Phi>/\Phi$  ( $u$ ) при  $\Theta_0 = 10$  и  $Sh = 1$  (1) и  $100$  (2).

Можем записать теперь (9) в виде<sup>1</sup>

$$\frac{w}{w'} = \sqrt{\frac{Lw'}{2\kappa}} \frac{w_H}{w'} \sqrt{\frac{T_+}{T_-}} \Theta_0 \omega \left( \Theta_0, \frac{Lw'}{\kappa}, \frac{w_H}{w'}, \frac{T_+}{T_-} \right) = \Phi \left( \frac{Lw'}{\kappa}, \frac{w_H}{w'}, \frac{T_+}{T_-}, \frac{E}{RT_-} \right).$$

Таким образом, согласно развивающейся теории имеются четыре определяющих параметра, которые должны контролироваться в эксперименте.

Задачу (5)–(8) на определение собственного значения  $\omega$  анализировали на ЭВМ. Как обычно в таких случаях [21], функцию тепловыделения доопределяли в области малых температур. Принято, что при  $u > u_*$   $\langle \Phi \rangle = (u - 1) \left( \frac{\partial \Phi}{\partial u} \right) \Big|_{u=u_*}$ , т. е.  $u_*$  определяли из условия гладкости функции тепловыделения в точке  $u_*$ . По порядку величины  $u_* = 1 - \Theta_0^{-1}$ . Используя результаты численного счета, можно получить распределение различных осредненных характеристик в волне горения.

На рис. 1 нанесено изменение  $u$  вместе с пульсациями в рамках дисперсионного отклонения. Представленные варианты характерны тем, что нигде область изменений температуры не выходит за рамки термодинамически возможной. Но при уменьшении  $\Theta_0$  дисперсия пульсаций  $T$  растет и необходимо учитывать температурную перемежаемость в пламени [5, 11]. В данной работе область изменения параметров выбиралась такой, чтобы перемежаемость не сказывалась.

На рис. 2 показан температурный профиль пламени и тепловыделения. Видно, что зона прогрева с увеличением  $Sh$  становится более наполненной. Это — следствие роста скорости химической реакции при низкой температуре. Судя по рис. 2, растяжение пламени за счет пульсаций  $T$  приводит к тому, что и при больших  $Sh$  толщина пламени остается порядка масштаба турбулентности  $L$ . Толщина пламени при  $Sh = 100$  примерно равна  $50\sqrt{D\tau_+}$ , а  $L \approx \sqrt{ShD\tau_+} \approx 10\sqrt{D\tau_+}$ .

Ход функции  $Vu(u)$  — отношения скоростей реакции в турбулентном и ламинарном режимах изображен на рис. 3. Вид  $Vu(u)$  качественно совпадает с тем, что получен в [6, 7, 22], где не учитывались нелокальные члены в уравнении для  $u$ : диффузия и конвекция вторых моментов. Первые оценки влияния пульсаций температуры сделаны Л. А. Вулисом [23], позднее в [24] изучался эффект влияния пульсаций температуры и концентрации на скорость химической реакции в процессах воспламенения. Для условий горения такие исследования проведены в [6, 25, 26].

Ускорение химической реакции в холодной области связано с действием температурных пульсаций. Турбулентный тепловой поток  $|y|$  и,

<sup>1</sup> Здесь и далее применяется традиционное обозначение:  $w' = \sqrt{\langle w'^2 \rangle} = b$ .

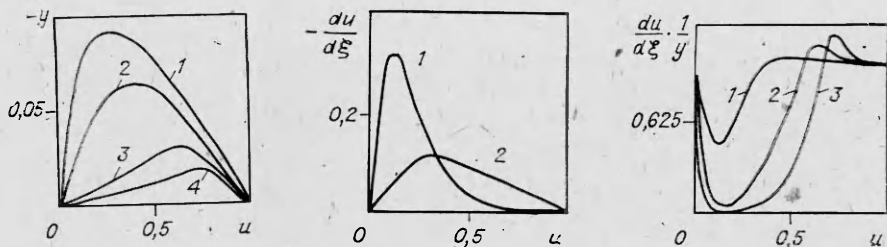


Рис. 4. Тurbulentный тепловой поток;  $\Theta_0 = 10$ ,  $Sh = 0$  (1), 4 (2), 36 (3) и 100 (4).

Рис. 5. Безразмерный градиент температуры;  $\Theta_0 = 10$ ,  $Sh = 1$  (1), 100 (2).

Рис. 6. Эффективный коэффициент температуропроводности;  $\Theta_0 = 10$ ,  $Sh = 4$  (1), 36 (2), 100 (3).

следовательно, пульсации температуры  $|y\sqrt{Sh}|$  при увеличении  $Sh$  смещаются в холодную область. Амплитуда пульсаций  $T$  растет. Картина этих изменений дана на рис. 4.

На рис. 5. показано изменение градиента температуры при различных  $Sh$ . При больших  $Sh$  конвективный член  $\left| \omega \frac{du}{d\xi} \right|$  в уравнении теплопроводности становится в зоне горения больше диффузационного  $\frac{dy}{d\xi}$ . Например, для  $Sh = 100$  при температуре, где тепловыделение максимально,  $\left| \omega \frac{du}{d\xi} \frac{dy}{d\xi} \right| = 24$ . Это связано с влиянием температурных пульсаций на эффективный коэффициент турбулентной температуропроводности, который можно вычислить как отношение

$$A = -\langle w' T' \rangle / \frac{d \langle T \rangle}{dx} = -\left| y \frac{du}{d\xi} \right|.$$

В расчетах, иллюстрируемых на рис. 6, наблюдается почти полное прекращение теплопроводности в зоне интенсивных химических реакций. В области низких температур  $A$  слегка превышает равновесный уровень  $\approx b^2 \tau_1$ .

На рис. 7 представлены результаты расчетов скорости распространения  $\omega$ . Видно, что при любом параметре  $\Theta_0$  кривая  $\omega(Sh)$  имеет два характерных участка. При  $Sh \leq 2$  величина  $\omega$  не зависит от  $Sh$ , и легко проверить, что в этой области скорость турбулентного пламени определяется скоростью горения и отношением турбулентной и молекулярной интенсивности турбулентного переноса тепла (в соответствии с моделью объемного горения)

$$w = w_n \sqrt{L w' / \kappa}.$$

При  $Sh > 2$  в логарифмических координатах  $\lg \omega - \lg Sh$  образуются прямые, наклон которых зависит от  $\Theta_0$ , но при достаточно больших  $\Theta_0$  кривые почти эквидистанты. Это позволяет для больших  $\Theta_0$  и  $Sh$  предложить степенной одночлен, аппроксимирующий численный счет  $\omega \approx a Sh^n \Theta_0^m$ . Например, для  $\Theta_0 \geq 15$   $a \approx 0,14$ ,  $n \approx -0,36$ ,  $m \approx -0,05$ . В размерном виде аппроксимирующая формула имеет вид

$$w = a \Theta_0^{1+m+2n} \left( \frac{T_+}{2\kappa T_-} \right)^{\frac{1+2n}{2}} w'^{\frac{1-2n}{2}} w_n^{1+2n} L^{\frac{1+2n}{2}}, \quad (10)$$

и при найденных значениях коэффициентов

$$w = 0,14 \Theta_0^{0,29} \left( \frac{T_+}{2\kappa T_-} \right)^{0,17} L^{0,17} w'^{0,86} w_n^{0,34}. \quad (11)$$

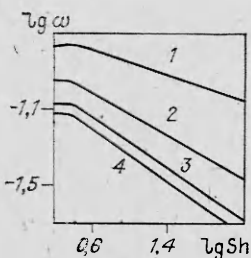


Рис. 7. Скорость распространения пламени;  $\Theta_0 = 10$  (1), 14 (2), 18 (3), 20 (4).

При  $\Theta_0 \leq 15$  показатели степеней зависят от  $\Theta_0$ , но можно все же подобрать коэффициенты вблизи  $\Theta_0 \approx 10$  ( $a \approx 0,25$ ,  $n \approx -0,13$ ,  $m \approx -0,1$ ) и для скорости пламени применить формулу

$$w = 0,25\Theta_0^{0,64} \left( \frac{T_+}{2\kappa T_-} \right)^{0,37} w'^{0,63} w_h^{0,74} L^{0,37}. \quad (12)$$

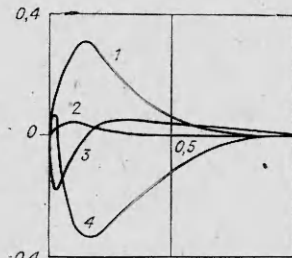


Рис. 8. Баланс в уравнении для  $y$ ;  $\Theta_0 = 10$ ,  $Sh = 100$ .

1 — генерация и диссипация  $\left( y - \frac{du}{d\xi} \right)$ ; 2 — концентрация  $\left( \omega Sh \frac{dy}{d\xi} \right)$ ; 3 — действие химической реакции  $\left( Sh y \frac{d\Phi}{du} \right)$ ; 4 — диффузионный перенос  $\left( -Sh \frac{d^2y}{d\xi^2} \right)$ .

Степенная аппроксимационная формула типа (10) предложена в [27] на основе анализа подобия и размерностей. Там же показано, что при некоторых  $n$  реализуются различные, известные из литературы, модели турбулентного горения. В [28, 29] скорость турбулентного горения также получена в виде степенного одночлена типа (10) с  $n = -0,25$  (параметры  $\Theta_0$  и  $T_+/T_-$  в [28, 29] отсутствуют).

Из (11), (12) следует, что показатель степени есть, вообще говоря, функция энергии активации и теплового эффекта реакции горения. При увеличении  $\Theta_0$  растет  $|n|$  и уменьшается  $|m|$ , и можно предположить, что  $\lim |n| = 0,5$  и  $\lim |m| = 0$  при  $\Theta_0 \rightarrow \infty$ . В этом пределе из (10) следует, что  $w \sim w'$  и скорость турбулентного горения перестает зависеть от остальных параметров. Такую зависимость также приводят в литературе [19, 20] как предельную в рамках поверхностной модели для горения газа в условиях сильной турбулентности. Судя по приведенным расчетам, асимптотичность этого результата слабая.

Сравнение (11), (12) с экспериментальными значениями чувствительности скорости турбулентного пламени к изменению различных параметров (многие из них собраны в [19, 20, 30]) достаточно удовлетворительное. В частности, по многочисленным экспериментальным данным обычно  $\frac{d \ln w}{d \ln w'} \approx 0,7 \div 0,8$ , что близко к тем, что даются формулами (11), (12).

Приведем также количественную оценку скорости турбулентного пламени для следующих значений параметров:  $L = 2,5 \cdot 10^{-1}$  см,  $w' = 5$  м/с,  $w_h = 0,8$  м/с,  $\kappa = 0,6$  см<sup>2</sup>/с,  $T_- = 440$  К,  $T_+ = 1800$  К,  $E = 36$  ккал/моль. Формула (12) дает  $w = 11,6$  м/с. В [31] величина  $w$  измерена в экспериментах по сжиганию бензино-воздушной смеси в трубе диаметром 4 см при скорости подачи топлива 100 м/с. Экспериментальное значение  $w = 12$  м/с. В трубе диаметром 9,8 см эксперимент дал  $w \approx 16$  м/с. Считая по рекомендации авторов [31], что  $L \approx 0,6$  см, получим из (12)  $w \approx 15,4$  м/с, т. е. по порядку величины (с учетом некоторой неопределенности входящих параметров) расчеты дают верный результат.

Вернемся к оценке относительной толщины пламени. Если определить ее как  $H/L = D/wL$ , нетрудно получить, что  $H/L = \omega^{-1} Sh^{-0,5}$ . При малых  $Sh$  безразмерная скорость  $\omega$  не зависит от  $Sh$ . Учитывая, что  $\omega = w/\sqrt{D/\tau_+} = w/\sqrt{\kappa/\tau_+}$ , получим  $H/L = \sqrt{T_+/2T_-} \Theta_0 Sh^{-0,5} \gg 1$ .

При больших  $Sh$  можно использовать (10). Тогда  $H/L \approx a^{-1} \Theta_0^{-m} Sh^{-(n+0,5)}$ . При больших  $Sh$  рост  $H/L$  с увеличением  $\Theta_0$  мал ( $m < 0$ ,  $|m| \ll 1$ ) и зависимость  $H/L$  от  $Sh$  также смягчается ( $n < 0$ ). Для  $\Theta_0 = 10$ ,  $Sh = 100$  получаем  $H/L = 0,93$ , при  $\Theta_0 = 20$   $H/L = 4,46$ .

Наличие двух режимов распространения турбулентного пламени вызвано прежде всего действием температурных пульсаций на тепловыделение. Из сопоставления рис. 3 и 7 видно, что рост скорости тепловыделения в несколько раз в области низких температур несуществен для увеличения скорости горения, гораздо эффективнее небольшое понижение скорости реакции вблизи адиабатической температуры горения, что вместе с затрудненным отводом тепла в зону прогрева меняет закономерность  $\omega(Sh)$  с ростом  $Sh$ .

Уровень пульсаций температуры складывается за счет различных процессов, включенных в уравнение (2). Роль соответствующих членов в уравнении баланса вторых корреляционных моментов показана на рис. 8. В зоне реакции, как следует из расчетов, при больших  $Sh$  различия между генерацией  $\frac{du}{ds}$  и диссипацией  $-y$  в основном покрывается диффузионным членом  $Sh \frac{d^2y}{ds^2}$ . На стадии завершения реакции из-за сильного подавления пульсаций реакцией  $Sh \langle \omega' \Phi \rangle = -y Sh \frac{d \langle \Phi \rangle}{du}$  диффузионный член становится положительным.

Авторы выражают благодарность В. Н. Вилюнову за полезное обсуждение работы.

Поступила в редакцию 3/V 1984

#### ЛИТЕРАТУРА

1. Я. Б. Зельдович. ФГВ, 1971, 7, 4, 463.
2. Я. Б. Зельдович, О. И. Лейпунский, В. Б. Либрович. Теория нестационарного горения пороха. М.: Наука, 1975.
3. В. П. Вилюнов. Докл. АН СССР, 1961, 136, 2, 381.
4. А. А. Беляев, А. А. Зенин, В. В. Кулешов и др. Хим. физ., 1982, 10.
5. Турбулентные течения реагирующих газов/Под ред. П. А. Либби, Ф. А. Вильямса. М.: Мир, 1983.
6. В. Н. Вилюнов, И. Г. Дик. ПМТФ, 1976, 5.
7. В. Н. Вилюнов, И. Г. Дик. ФГВ, 1977, 13, 3.
8. А. В. Лыков. Темпломассообмен. Справочник. М.: Энергия, 1978.
9. Е. А. Мещеряков. Уч. зап. ЦАГИ, 1974, 5, № 1.
10. В. Левеллен.— В кн.: Турбулентность, принципы и применения/Под ред. У. Фроста, Т. Моулдена. М.: Мир, 1980.
11. В. Р. Кузнецов. Изв. АН СССР. МЖГ, 1972, 5.
12. В. Р. Кузнецов, В. А. Фрост. Изв. АН СССР. МЖГ, 1973, 2.
13. В. А. Фрост. Изв. АН СССР. МЖГ, 1973, 6.
14. C. Dorazio. Phys. Fluids, 1975, 18, 397.
15. С. А. Недоруб, Ю. А. Щербина. ВИНТИ, Деп. № 3406-79.
16. С. А. Недоруб, В. А. Фрост, Ю. А. Щербина. ВИНТИ, Деп. № 3405-79.
17. K. N. C. Bray, P. A. Libby. Phys. Fluids, 1976, 19, 1687.
18. В. Л. Зимонт, Е. А. Мещеряков, В. А. Сабельников. ФГВ, 1978, 14, 3.
19. К. И. Щелкин, Я. К. Трошин. Газодинамика горения. М.: Изд-во АН СССР, 1963.
20. Е. С. Щетников. Физика горения газов. М.: Наука, 1965.
21. Я. Б. Зельдович, Г. И. Баренблatt, В. Б. Либрович и др. Математическая теория горения и взрыва. М.: Наука, 1980.
22. И. Г. Дик. ВИНТИ, Деп. № 3184-81.
23. Л. А. Вулис. Третье Всес. совещ. по теории горения. М.: Изд-во АН СССР, 1960.
24. В. Р. Кузнецов. Тр. 2-го Всес. симпозиума по горению и взрыву. Черноголовка, 1969.
25. В. С. Баушев, В. Н. Вилюнов. ПМТФ, 1972, 3.
26. K. N. C. Bray. 17-th Symp. (Intern.) on Combustion. Pittsburgh, 1979.
27. В. Н. Вилюнов. ФГВ, 1975, 11, 1.
28. В. Р. Кузнецов. Изв. АН СССР. МЖГ, 1976, 5.
29. В. Л. Зимонт, В. А. Сабельников. Всес. школа-конф. по теории горения. Тез. докл. Инст. пробл. мех., 1975.
30. G. Andrews, D. Bradley, S. B. Lwakabamba. Comb. Flame, 1975, 24, 285.
31. Л. Н. Хитрин, С. А. Гольденберг.— В кн.: Газодинамика и физика горения. М.: Изд-во АН СССР, 1959.